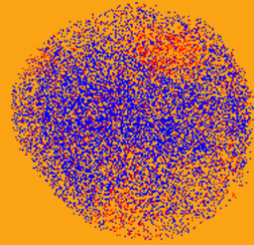


530117 Material fysik vt 2010

3. Materials struktur 3.5 Nanomaterials struktur



Definition på nanomaterial

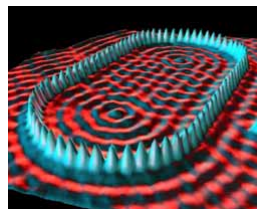
- Material som är i storleksordningen 1 – 100 nm *åtminstone i en dimension*. Objekten är **väl kontrollerade** i detta storleksområde vad gäller tillverkning, modifikation eller analys.
 - Dessutom brukar man oftast införa ett nyhetskriterium för att skilja nanomaterial från t.ex. vanliga molekyler
 - T.ex. ” forskningen/materialen har en **grundläggande nyhetsaspekt** vad gäller materialet självt, dess analysmetoder eller den vetenskapliga frågeställning”

Materialfysik 2010 – Kai Nordlund



Nanomaterials typer

- Man talar om 2D, 1D och 0D-nanostrukturer beroende på hur många dimensioner är i nanometerskalan
 - 2D-nanostruktur: **tunn film** eller **kvantbrunn**
 - 1D-nanostruktur: **nanotråd** eller **kvanttråd**
 - 0D-nanostruktur: **nanopartikel** eller **kvantpunkt**
- Kvant-benämningarna kommer av att elektronerna kan ofta anses infångade i nano-dimensionerna, varmed kvantmekaniska egenskaper som avviker från det normala bli synliga

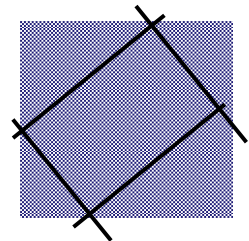


[“Quantum corral”, IBM]



Nanomaterials struktur: konventionell vs. avvikande

- Om man tänker på en nanostruktur, är den naturliga gissningen på dess atomära struktur att den är samma som strukturen i bulkmaterialet
 - Formellt kan man tänka sig att man enbart skär ut en bit av bulkmaterialet i nanoskala
- Ofta är strukturen faktiskt just denna
 - Men vilken skärningsriktningarna är, har då betydelse p.g.a. ytenergin
- Och vissa nanomaterial har strukturer som helt avviker från dem i sina bulkmotsvarigheter





Rollen av ytenergi

- En av orsakerna till att nanomaterial beter sig olika från bulkmaterial är att en enorm andel av atomerna är på ytan

Atomboll

- Hur stor del av atomerna i en boll är på ytan?
- Vi vet att ett atomlager är ungefär $t = 2 \text{ \AA}$ tjockt
- Volymen av ytomomerna:

$$V_{yta} = 4 \pi r^2 t$$

- Hela bollens volym:

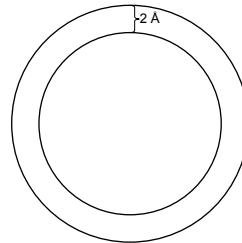
$$V_{boll} = 4 \pi r^3 / 3$$

- Förhållandet, alltså fraktionen ytomom:

$$V_{yta} / V_{boll} = 3 t / r$$

- Betrakta nu olika värden på r :

- Makroboll: $r = 1 \text{ m} \Rightarrow 3 t / r = 6 \cdot 10^{-10}$
- Mikroboll: $r = 1 \text{ } \mu\text{m} \Rightarrow 3 t / r = 6 \cdot 10^{-4}$
- Nanoboll: $r = 1 \text{ nm} \Rightarrow 3 t / r = 0.6 !!$



Rollen av ytenergi

- Detta leder till att även om nanopartiklar har samma kristallstruktur som i bulkfas, tenderar de att ha vissa geometriska former som dikteras av ytegenskaperna
- Den totala energin för en atomär struktur kan skrivas

$$E_{TOT}(r^*) = E_{bindningar}(r^*) + E_{yta}(r^*) + E_{spänning}(r^*) + E_{elektronisk}(r^*)$$

där r^* är något effektivt mått för strukturen

- I bulkssystem i jämvikt är yttertermerna betydelselösa och spänningstermen noll, och det elektroniska bidraget är samma för alla atomer, så strukturen bestäms av bindningsegenskaper såsom tidigare beskrivits
- I nanomaterial kan alla övriga termer bli betydelsefulla!



Rollen av ytenergi

- Vi ser först på ytenergins roll

$$E_{TOT}(r^*) = E_{bindningar}(r^*) + E_{yta}(r^*)$$

- Bindningsenergin är per definition samma för ett visst antal atomer N för en viss kristallstruktur

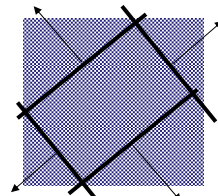
- Men ytenergin ϵ beror på i vilken riktning en kristall skärs: $\epsilon = \epsilon_{hkl}$

- Bond counting-argumentet förklaras

- Men alla skärningar i ekvivalenta kristallriktningar $\langle hkl \rangle$ har samma energi per area A

- Alltså kan ytenergin skrivas som

$$E_{yta}(r^*) = \sum_{i_{hkl}=1}^{N_{självständiga\ hkl}} A_{hkl} \epsilon_{hkl}$$



Rollen av ytenergi

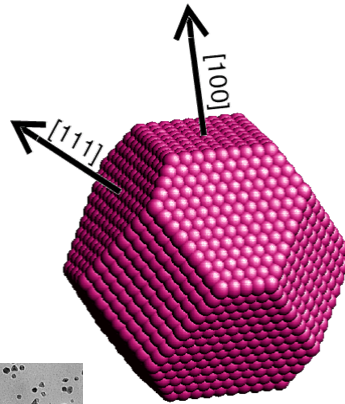
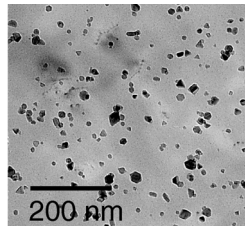
- Minimienergistrukturen för en nanokluster med N atomer kan då bestämmas genom att söka minimienergin av ytenergierna för olika variabla areor A_{hkl} under villkoret att volymen hålls konstant

$$\min \left(\sum_{i_{hkl}=1}^{N_{självständiga\ hkl}} A_{hkl} \epsilon_{hkl} \right)$$

- T.ex. i FCC-material är ytorna med den lägsta energin i allmänhet 111 och 100 (i denna ordning)
- Det är helt möjligt att skära en FCC-kristall bara längs med 111-riktningar
 - Men då blir ytarean A_{111} hög
- Genom att skära en FCC-kristall längs med både 111 och 100-riktningar, kommer man fram till en avskärd ("truncated") oktaeder-form (också känd som Wulff'-polyeder): 8 111 och 6 100-ytor, nära sfäriskt: nästan minimal total A , bara 111 och 100-ytor

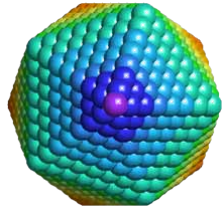
Avskärd oktaeder

- Denna struktur är en av de vanliga strukturerna som observeras för nanoklustrar av FCC-material
- Dessutom visar det sig att en del material som i bulk har andra strukturer, i nanoform blir FCC!
 - Exempel: Co
 - När de sedan blir FCC, kan de ha t.ex. just den avskärda oktaederstrukturen



Avvikande strukturer

- Men som sagt behöver inte nanoklustrar ha alls samma struktur som motsvarande bulkfas
- Ett viktigt exempel är den s.k. Mackay-ikosaedern som ofta observeras, men inte kan erhållas med att skära av ett enskild block ur en FCC-kristall
- Istället kan det förstås som strukturen som erhålls om man skär ut 20 identiska tetraeder-pyramider längs med 111-ytor från en FCC-kristall
- Dessa 20 pyramider kan fogas ihop så att en 111-yta är alltid utåt
 - Detta formar en regelbunden ikosaeder
 - Alla yttre ytor är nu 111, och totala formen är nära sfärisk, så denna struktur har låg energi

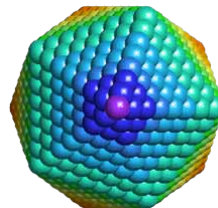


Ikosaedern

- Men denna konstruktion har ett problem: tetraederna passar egentligen inte perfekt ihop, utan det blir en liten missanpassning mellan dem
 - Bindningarna har icke-ideal längd
 - Med andra ord är klustern under spänningen
- Dessutom bryts kristallstrukturen där tetraederna möts
 - Vid gränssnittet förekommer alltid en s.k. tvillingkorngrän (twin grain boundary)
 - Strukturen kallas också på engelska "multiply twinned icosahedron"
- Den totala energin har nu fyra termer:

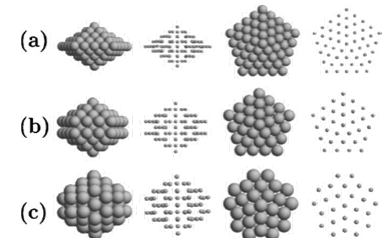
$$E_{TOT}(r^*) = E_{kohesion}(r^*) + E_{yta}(r^*) + E_{spänning}(r^*) + E_{korngrens}(r^*)$$

- Spänningstermen ökar starkt med klusterstorlek för att missanpassningen ökar med klusterstorleken



Dekaedern

- En ytterligare klass av ickeenhetskristallina strukturer är de dekaedriska
- Dessa kan formas med att kombinera 5 tetraedrar så att utåt syns 10 111-ytor
- Men om man gör detta direkt är strukturen långt från sfärisk
 - En lösning till detta är den s.k. Marks-dekaedern där en del atomer tagits bort från de yttersta kanterna
 - Detta leder till en defektenergi som höjer energin ovanom den för ikosaedern för de minsta klusterna
 - Å andra sidan ökar spänningsenergin mindre med storleken => Det kan finnas ett intermediärt område där dekaedern är grundstillståndet



Verklig Marks-dekaeder

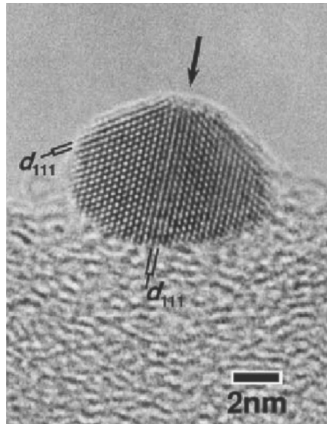
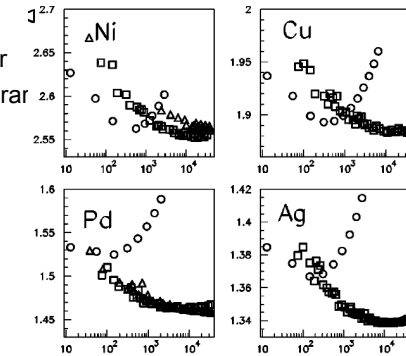


FIG. 2. High-resolution electron microscopy image of a $8.6 \times 6.3\text{-nm}^2$ truncated decahedral gold particle deposited on amorphous carbon. The particle was produced in an inert-gas aggregation experiment and then deposited and observed. Adapted from Koga and Sugawara, 2003.

Materialfysik 2010 – Kai Nordlund

Stukturen som funktion av storlek

- Enligt argumenten ovan kunde man vänta sig att med den effektiva radien har FCC-klustrar formen ikosaeder \rightarrow avskuren dekaeder \rightarrow avskuren oktaeder
- Detta har observerats i simuleringar
 - Cirklar ikosaedrar
 - Trianglar avskurna oktaedrar
 - Kvadrater avskurna dekaedrar
- Också experimentellt!
 - T.ex. för Ar övergång vid 750 atomer



[Baletto and Ferrando, Rev. Mod. Phys 77 (2005) 387]

Materialfysik 2010 – Kai Nordlund

Mycket små nanoklustrar

- För de allra minsta nanoklustrarna tar de kemiska bindningarnas hybridisering över, och allt det tidigare nämnda blir irrelevant
- Exempel: former av Au-nanoklustrar

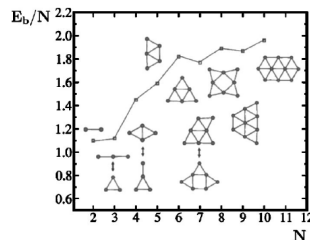
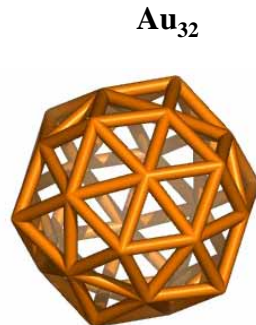


FIG. 12. Lowest-energy isomers of Au clusters according to Bonacić-Koutecký *et al.* (2002). All clusters are planar up to $N=10$ at least. The binding energy per atom E_b/N (in eV) is also shown. For isomers with energy difference smaller than 0.1 eV, both competing structures are shown (see sizes 3, 4, and 7). From Bonacić-Koutecký *et al.*, 2002.



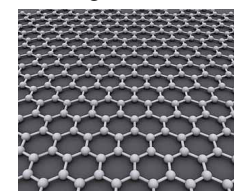
[M. Johansson and P. Pyykkö]

Materialfysik 2010 – Kai

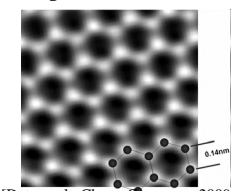
Kolnanomaterial: Grafen (grafin)

- Repetition från kapitel 3.3:
- Ett specialfall av grafit-strukturen är ett enda isolerat grafen-lager (engelska "graphene", på svenska antingen grafen eller grafin)
 - Dessa kunde isoleras först år 2004, och är nu ett mycket hett forskningsämne
- De flesta andra kolnanomaterial kan förstås baserat på grafen

Datorgenererad bild



Experimentell bild



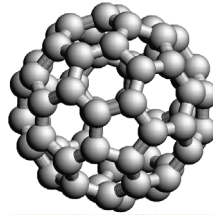
[Dato *et al.*, Chem. Commun., 2009, 6095 – 6097]

[Bilder ur wikipedia: graphene]

Materialfysik 2010 – Kai Nordlund

Kolnanomaterial: fullerenener

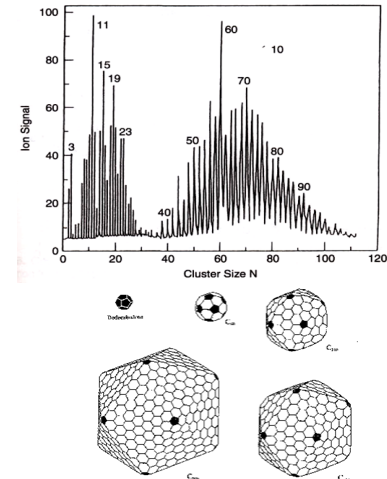
- Fulleren-molekylen C_{60} hittades 1985 av Kroto, Smalley & co.
- Nästan perfekt sfärisk molekyll
- Alla kolatomer har 3 bindningar, och de formar ringar med 5 eller 6 atomer
 - Helt som i en (traditionell) fotboll!
- Man kunde tänka sig att denna formas med att vrida grafen till en boll
 - Men en del bindningar måste omarrangeras
- Det kufiska namnet kommer av arkitekten Buckminster Fuller som planerade kupoler
 - “Fullerene”, “Buckyball”, “Buckminsterfullerene”



Materialfysik 2010 – Kai Nordlund

Olika typer fullerenener

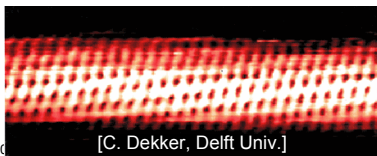
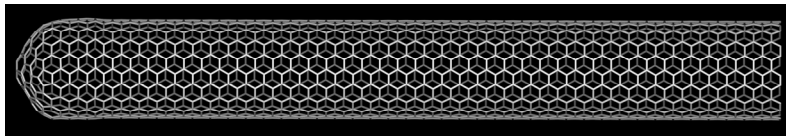
- Även om C_{60} är den vanligaste, finns det många olika möjliga typer av fullerenener
 - Ätminstone $C_{30} - C_{720}$
- De mindre ($N < 30$) är antagligen inte stängda och alltså inte fullerenener
- De största inte sfäriska
 - Mera energetiskt fördelaktiga 6-faldiga ringar



Materialfysik 2010 – Kai Nordlund

Kolnanorör

- Kolnanorör/kolnanotuber är rör som består av rent kol
 - Diameter 1-2 nm, längd ~10 nm – 10 μ m
 - Maximilängd 4 cm för en enda tub!! [Zheng et al, Nature Materials 2004]
- Rörens sidor är som en cylinder, grafen som vridits på sig själv
- Rörets ändor är öppna eller fullerenaktiga

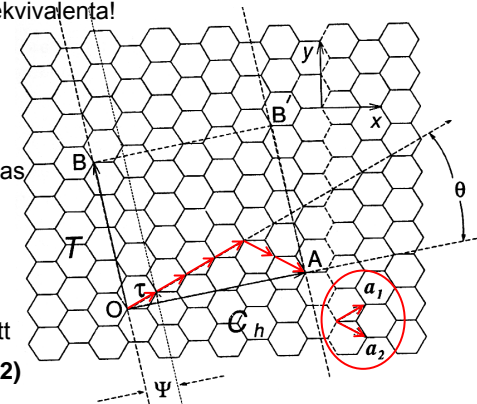


[C. Dekker, Delft Univ.]

Materialfysik 2010

Kolnanotubers kiralitet

- Ett nanorör kan formas på många olika sätt från ett grafitplan
 - Man kan rulla ihop planet i vilken riktning som helst
 - Men grafitplanet har bindningsriktningar, så alla rullningsriktningar är inte ekvivalenta!
 - Upprullningsriktningen kan bestämmas med en enda vektor OA
 - Den i sin tur kan bestämmas med grafits enhetscellsvektorer a_1, a_2 .
 - Av dessa kan man forma vektorn OA på följande sätt
 - Alltså 4 och 2 vektorer: **(4,2)**

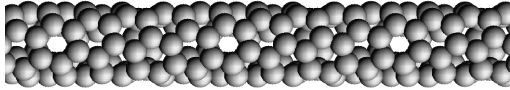


Materialfysik 2010 – Kai Nordlund



Kolnanotubers kiralitet

- Kiraliteten (händigheten) beskrivs med två tal (A,B)
 - T.ex. tuben ovan är (4,2), och slutresultatet är

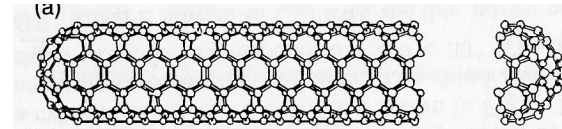


- Rör är alltså uppenbart vridna (helix-formad)
- Rör av typen (A,0) och (A,A) är inte vridna
 - Kallas akiraliska ("achiral")
- Rör av typen (A,A) kallas för "armchair" eller länsstol-tuber
- Rör av typen (A,0) kallas för "zigzag" eller siksak-tuber
- Alla andra kallas för kirala

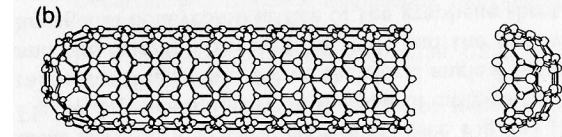


Exempel

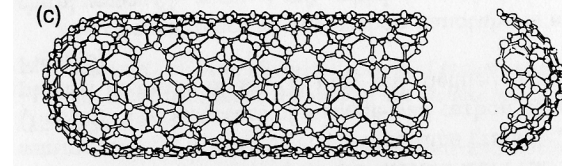
(5,5) armchair



(9,0) zigzag

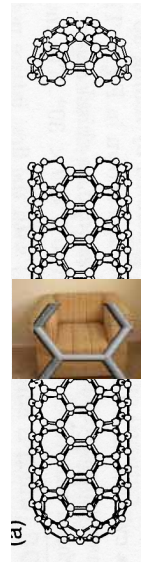


(10,5) kiral



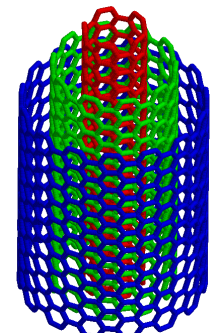
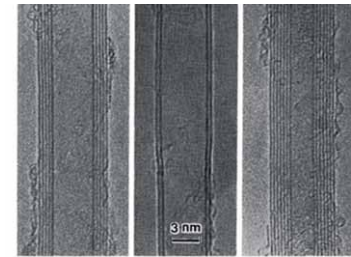
"Armchair" ??

- Kräver god fantasi...



Singel vs- mångväggars tuber

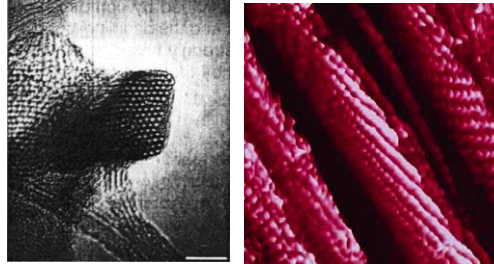
- Nanorör kan ha en eller flera väggar
 - Man talar om singel eller mång-väggars tuber (single-walled nanotubes SWNT, multi-walled nanotubes MWNT)
 - Avståndet mellan väggarna ung. 3.4 Å, samma som mellan lagrena i grafit – samma svaga van der Waals-bindningstyp



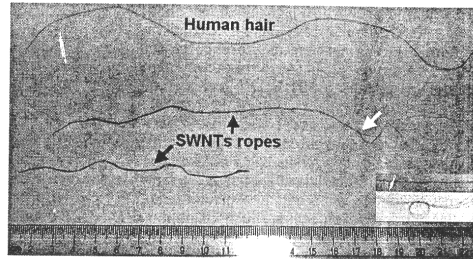


Nanorörsstrukturer

- Nanorören kan (och tenderar spontant att) forma buntar



- Och från buntarna kan man forma "rep" eller fibrer
 - Notera skalan!

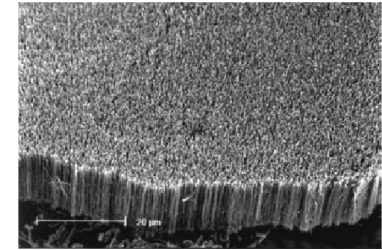


[Zhu et al, Science 296 (2002) 884]

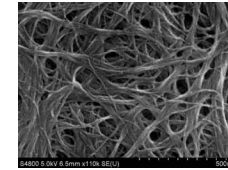


Nanorörsskog och -papper

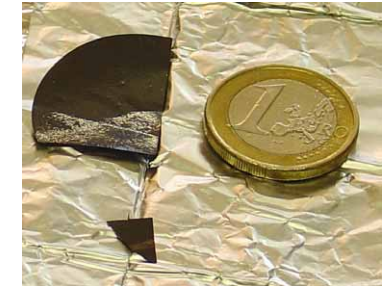
- Med att låta rören växa från en yta kan man forma en 'skog' av dem



- Från nanorörsbuntar kan man tillverka papper
 - Papper = fibernätverk



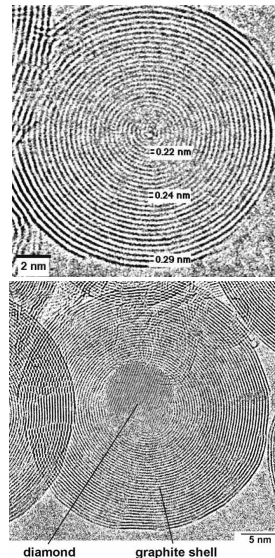
[K. Arstila, Kiihdytinlaboratorio]



Kollökar och nanodiamanter

- Kollökar
 - Fullerener innanför varann
 - Lagerstrukturen stabiliserar dem till sfäriska
- Nanodiamanter
 - Kan tillverkas t.ex. genom att bestråla kollökarna
 - Atomer försvinner => fullererna krymper => trycket ökar inuti
- Nanodiamanter observeras också i naturen

[Dalton, Science 271 (1996) 1260]



[F. Banhart, Physikalische Blätter 53, 33-35 (1997)]